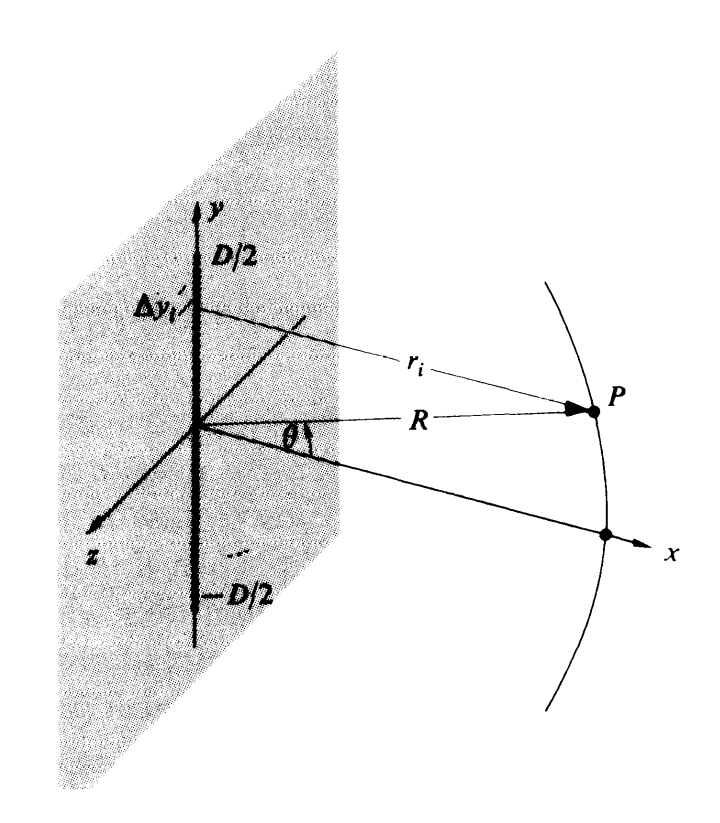
Segmento contínuo de fuentes coherentes

Línea continua de fuentes coherentes

- Supongamos ahora un contínuo de fuentes en un segmento de largo D.
- Cada punto emite una onda esférica:

$$E = \left(\frac{\mathcal{E}_0}{r}\right) \sin\left(\omega t - kr\right)$$

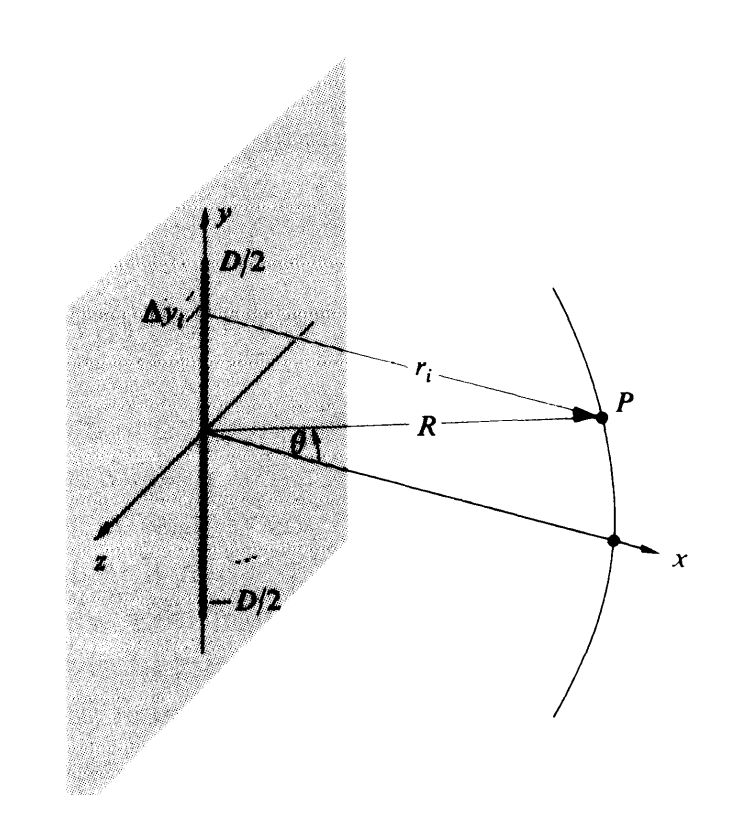
• Supongamos que la densidad de fuentes por unidad de distancia es $\frac{N}{D}$ con N grande.



Línea continua de fuentes coherentes

- Dividamos el segmento en M tramos de largo Δy en fase
- Cada segmento de largo Δy tendrá $\frac{N}{D} \Delta y$ fuentes
- La contribución del i-ésimo segmento Δy al campo eléctrico en el punto P es:

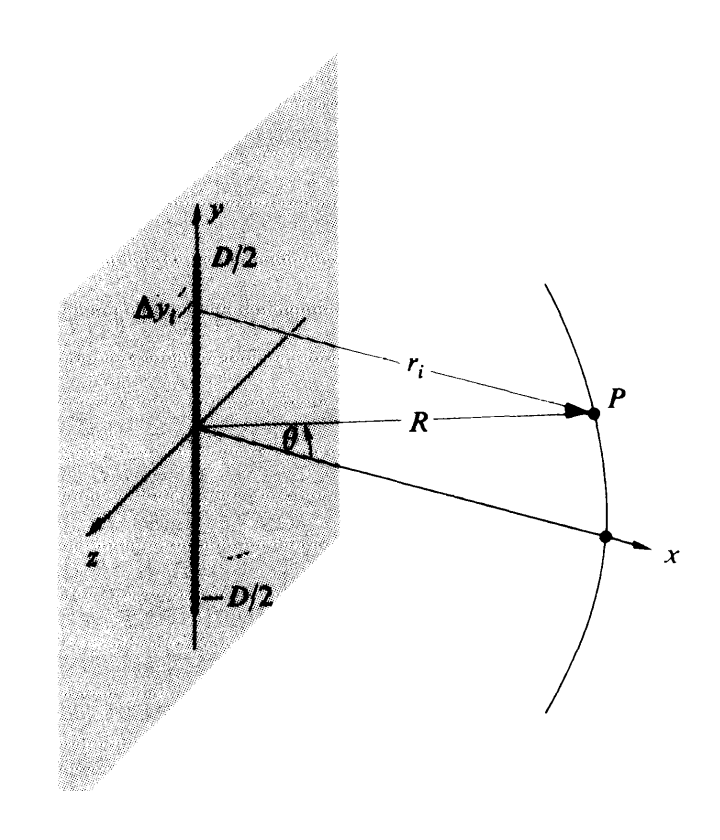
$$E_i = \left(\frac{\mathcal{E}_0}{r_i}\right) \sin\left(\omega t - k r_i\right) \left(\frac{N \Delta y_i}{D}\right)$$



Línea contínua de fuentes coherentes

- Ahora para pasar una distribución contínua de fuentes tenemos que tender N a infinito y achicar ε_0 (la amplitud del campo eléctrico de cada fuente) de manera de tener un campo finito en P.
- Definimos la intensidad de la

$$\boldsymbol{\mathcal{E}}_{L} \equiv \frac{1}{D} \lim_{N \to \infty} \left(\boldsymbol{\mathcal{E}}_{0} N \right)$$



Línea continua de fuentes coherentes

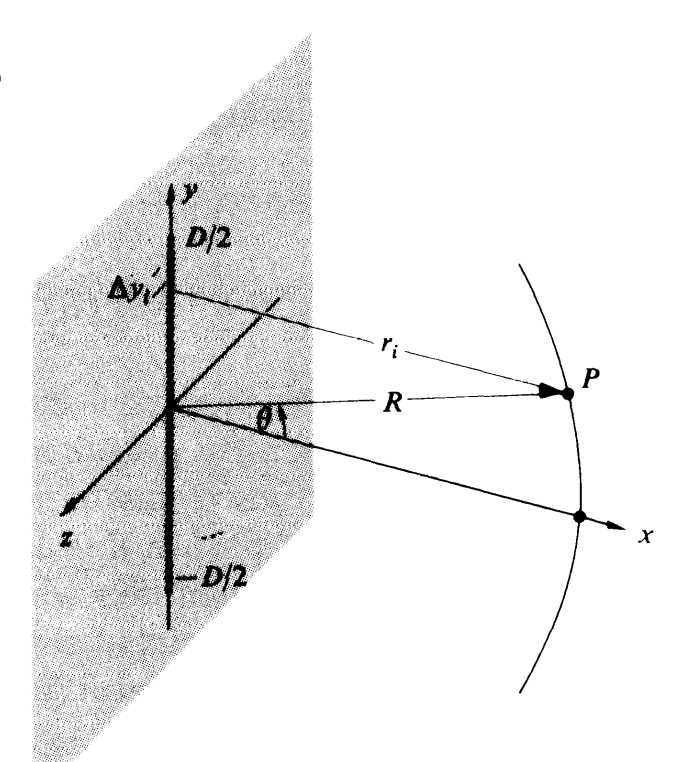
• Entonces, la suma de las contribuciones de los M segmentos de largo Δy_i queda:

$$E = \sum_{i=1}^{M} \frac{\mathcal{E}_{L}}{r_{i}} \sin{(\omega t - kr_{i})} \Delta y_{i}$$

• En el límite $\lim_{\Delta y \to 0}$ tenemos el campo en P integrando a lo largo del ancho D.

$$E = \mathcal{E}_L \int_{-D/2}^{+D/2} \frac{\sin(\omega t - kr)}{r} dy$$

$$\operatorname{Con} r = r(y)$$

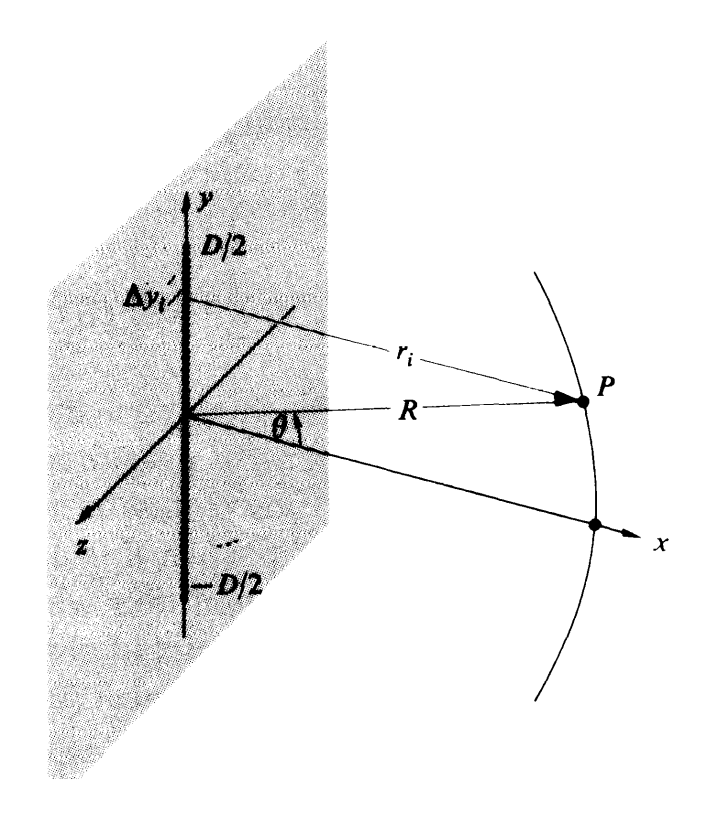


Difracción de Fraunhofer para una línea contínua de fuentes coherentes

 Tomemos ahora el resultado anterior pero imaginemos que la distancia al punto de observación es muchísimo mayor al del largo de la línea:

$$R \gg D$$

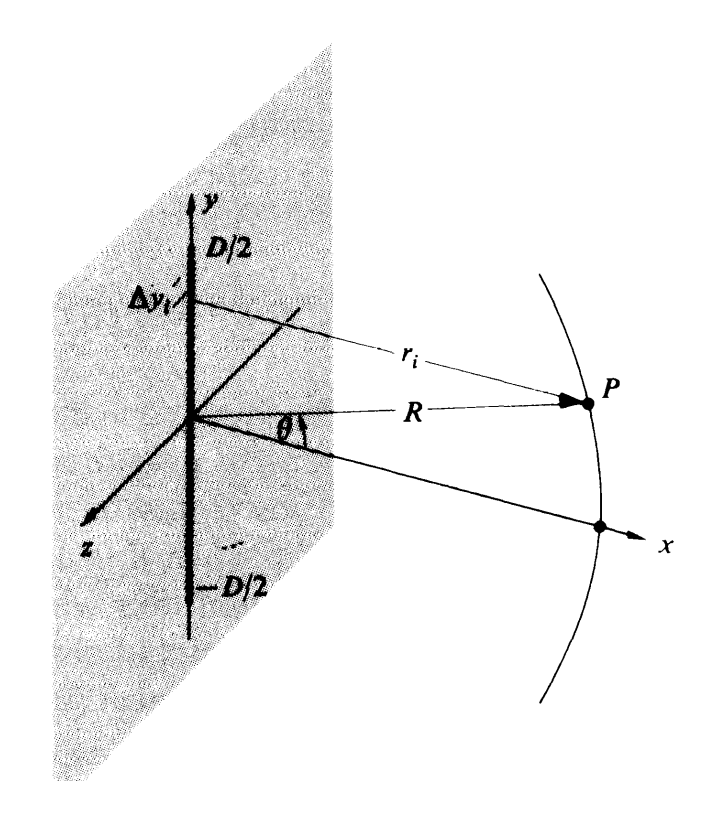
- Esto hace que la distancia de cada dy hasta P(r) no varíe mucho con y.
- Es más, r no va a diferir de la distancia a P medida desde el centro de la línea, R.



• Entonces, la amplitud de la contribución del campo de cada dy también será la misma:

$$dE = \frac{\mathcal{E}_L}{R} \sin{(\omega t - kr)} dy$$

• Ahora, para aproximar r dentro de la fase hay que tener más cuidado.



 Haciendo el mismo planteo que para Young, tenemos que

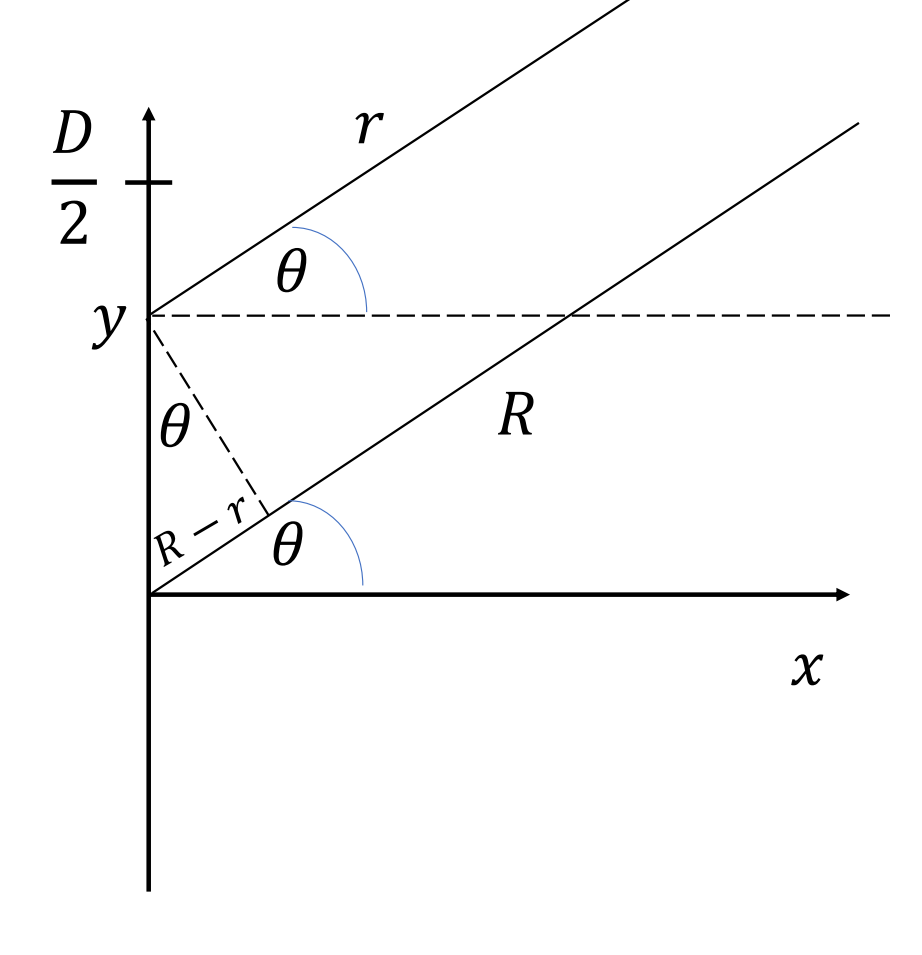
$$R - r \cong y \sin \theta$$

• Lo cual implica

$$r \cong R - y \sin \theta$$

• Entonces, en la aproximación de Fraunhofer:

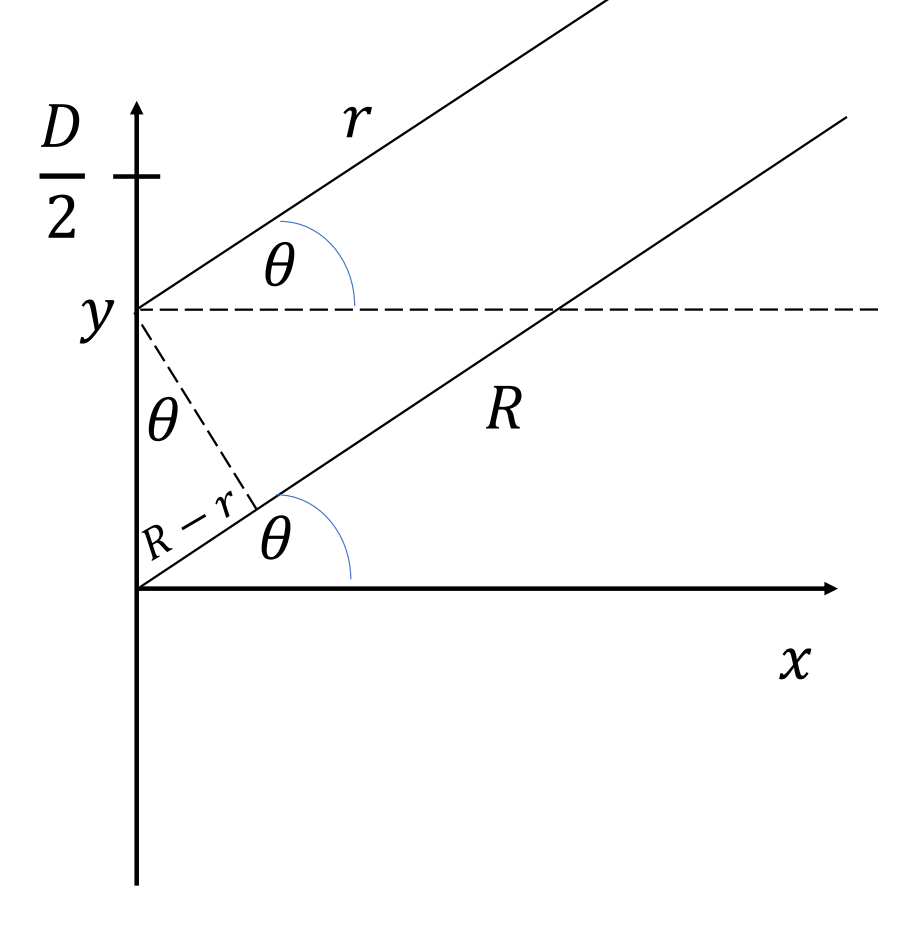
$$E = \frac{\mathcal{E}_L}{R} \int_{-D/2}^{+D/2} \sin \left[\omega t - k(R - y \sin \theta) \right] dy$$



 La integral anterior se resuelve fácilmente haciendo

$$\sin(\omega t - kR) + ky \sin \theta = \sin(\omega t - kR) \cos(ky \sin \theta) + \cos(\omega t - kR) \sin(ky \sin \theta)$$

• La integral respecto a y entre $\pm \frac{D}{2}$ del segundo término del segundo miembro es cero.



• Resultando

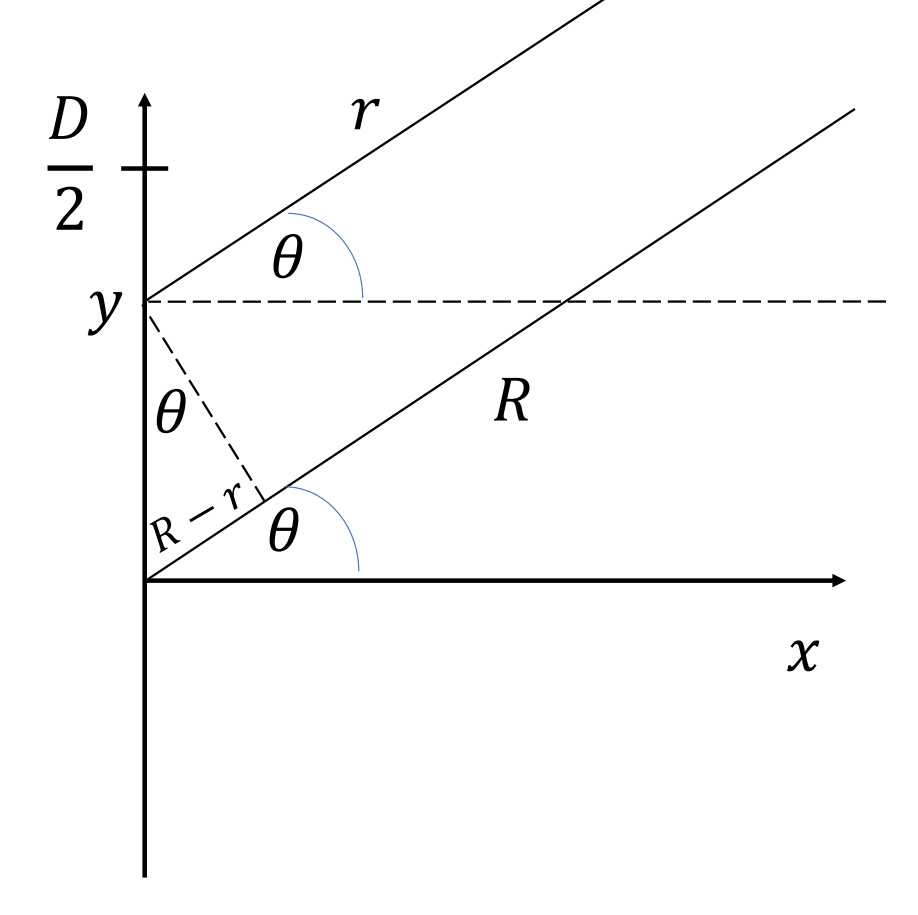
$$E = \frac{\mathcal{E}_L D}{R} \frac{\sin[(kD/2)\sin\theta]}{(kD/2)\sin\theta} \sin(\omega t - kR)$$

• Si hacemos

$$\beta \equiv (kD/2)\sin\,\theta$$

• Tenemos

$$E = \frac{\mathcal{E}_L D}{R} \left(\frac{\sin \beta}{\beta} \right) \sin \left(\omega t - kR \right)$$



 La irradiancia entonces, es proporcional al promedio temporal del cuadrado del campo electrico

$$I(\theta) = \langle |E|^2 \rangle$$

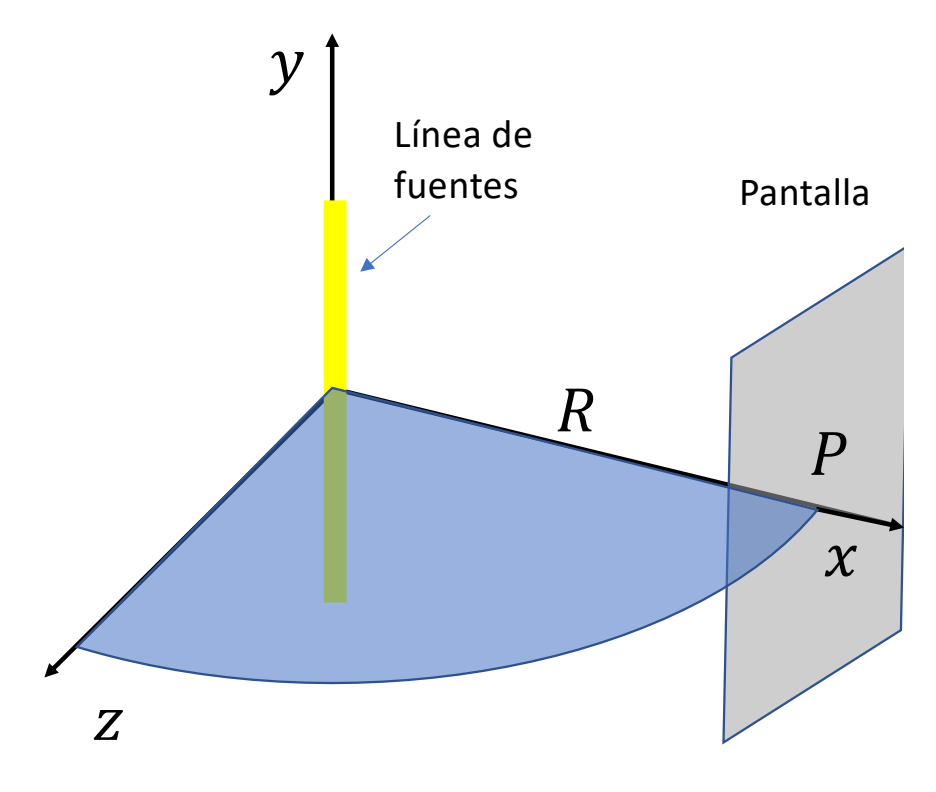
• Como $\langle |\sin(\omega t - kR)|^2 \rangle = 1/2$ obtenemos:

$$I(\theta) = \frac{1}{2} \left(\frac{\mathcal{E}_L D}{R} \right)^2 \left(\frac{\sin \beta}{\beta} \right)^2$$

- Analicemos esta curva en función de la variable $\sin \theta$
- Tenemos un máximo en $\beta=0 \iff \theta=0$ $I(0)=\frac{1}{2}\left(\frac{\varepsilon_L D}{D}\right)^2$
- Tendremos mínimos $I(\theta_{min})=0$ en $\beta=\pm n\pi$ para $n=1,2,3,4\dots$
- Esto implica

$$\sin \theta_{min} = \pm \frac{2n\pi}{kD} = \pm \frac{n\lambda}{D}$$

- Notemos que cuando $D\gg\lambda$ entonces la irradiancia decae muy rápido con θ por culpa de β en el denominador
- Esto se ve para valores de $D \approx 1cm$ para luz visible
- En cuanto a la fase, es como si toda la línea fuera una fuente puntual situada en el centro de la línea a una distancia R de P
- Es como si irradiara una onda circular en el plano $\theta=0$ (perpendicular a la linea)



Para $D \gg \lambda$ la emisión se da en el plano xz

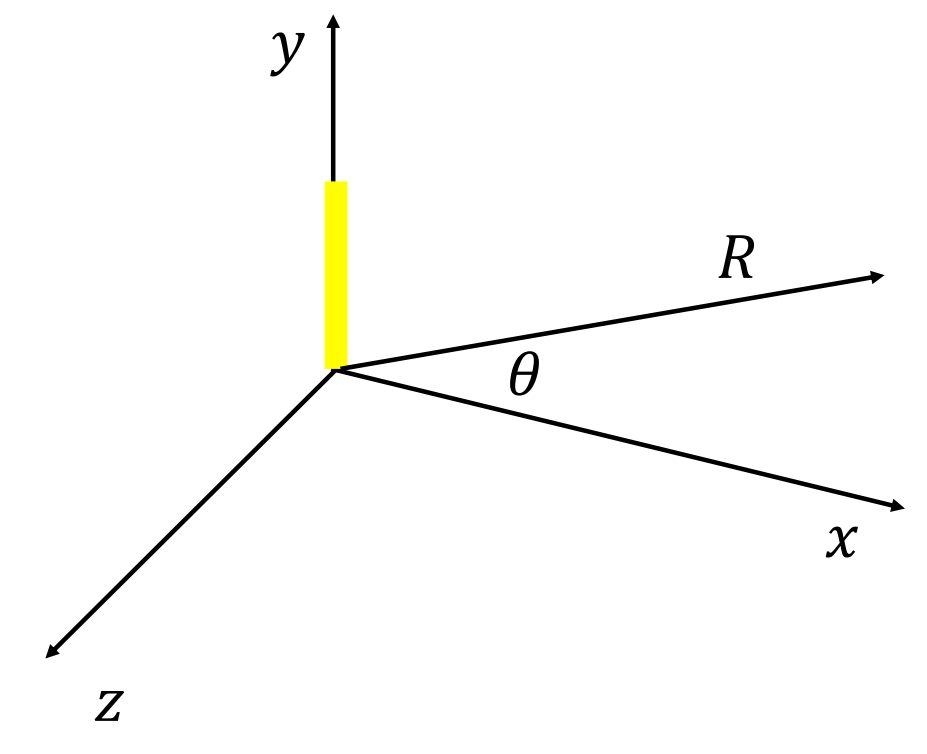
• Si, por el contrario $\lambda \gg D$ entonces β es pequeño y luego:

$$\beta \cong \sin \beta$$

• Entonces:

$$I(\theta) = I(0)$$

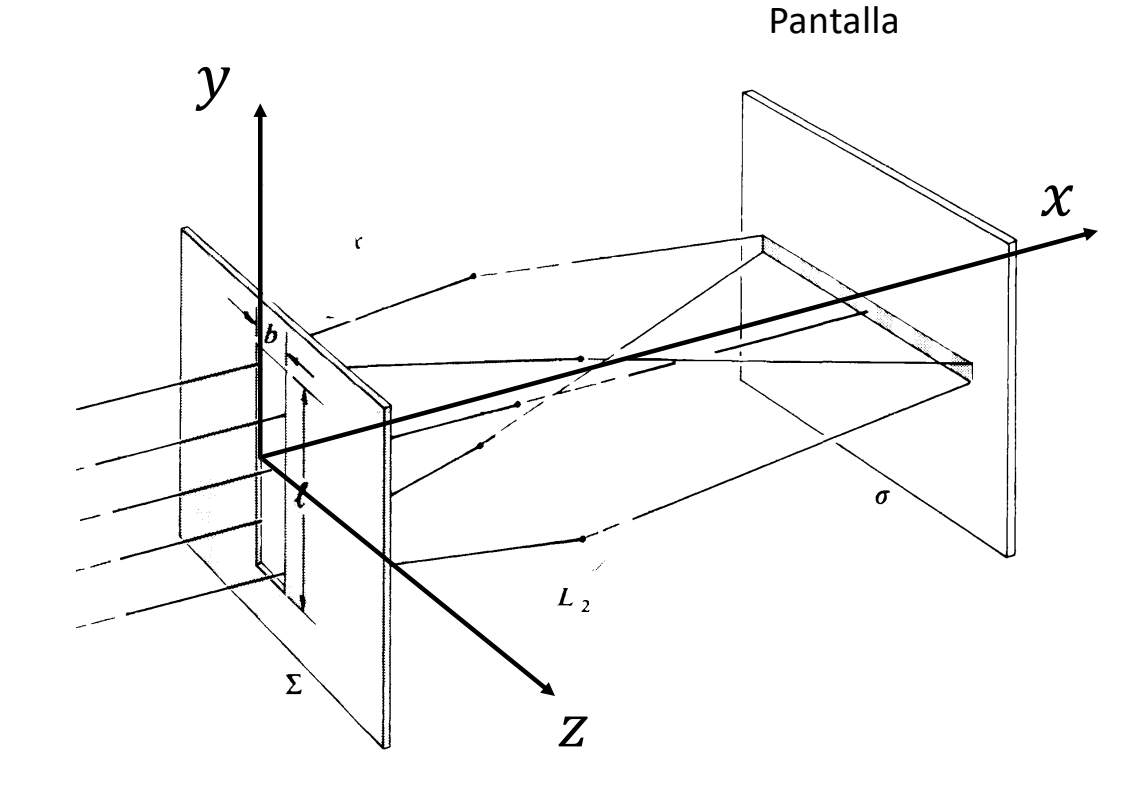
• Entonces la irradiancia es constante para todo θ y entonces la línea parece una fuente puntual en el centro emitiendo ondas esféricas



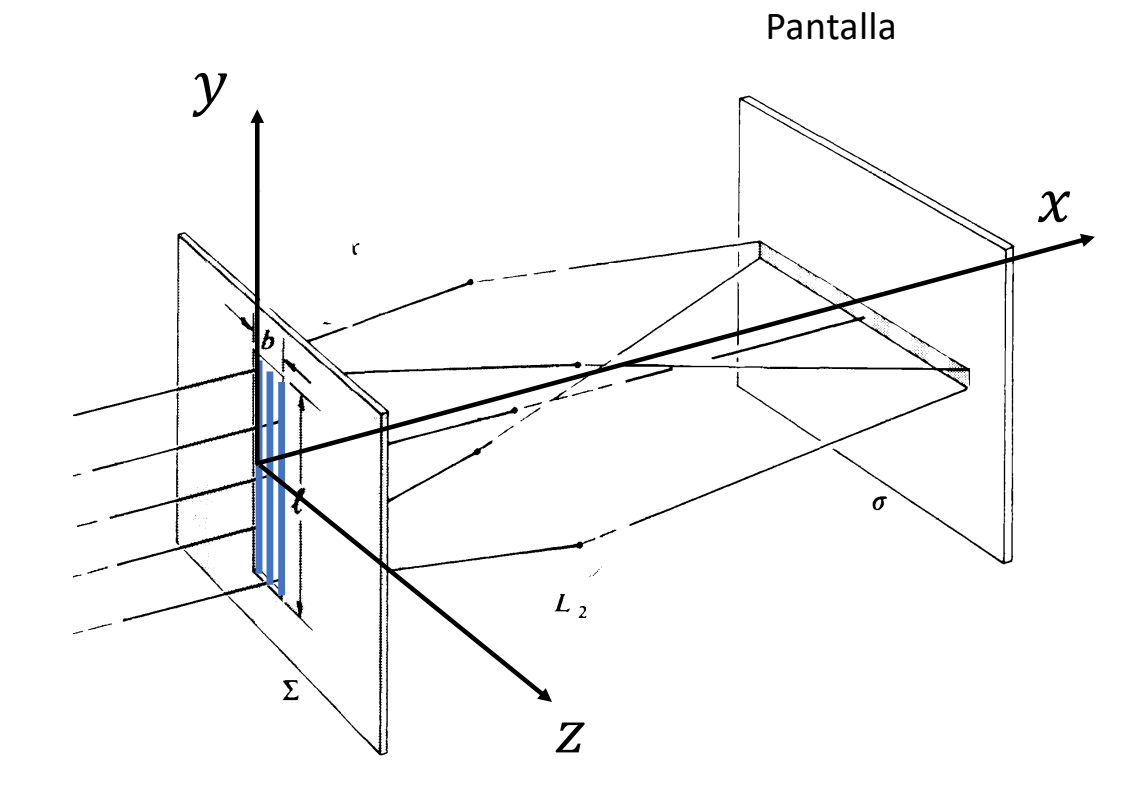
Para $\lambda \gg D$ la irradiancia es la misma para todo θ

Difracción de Fraunhofer de una rendija

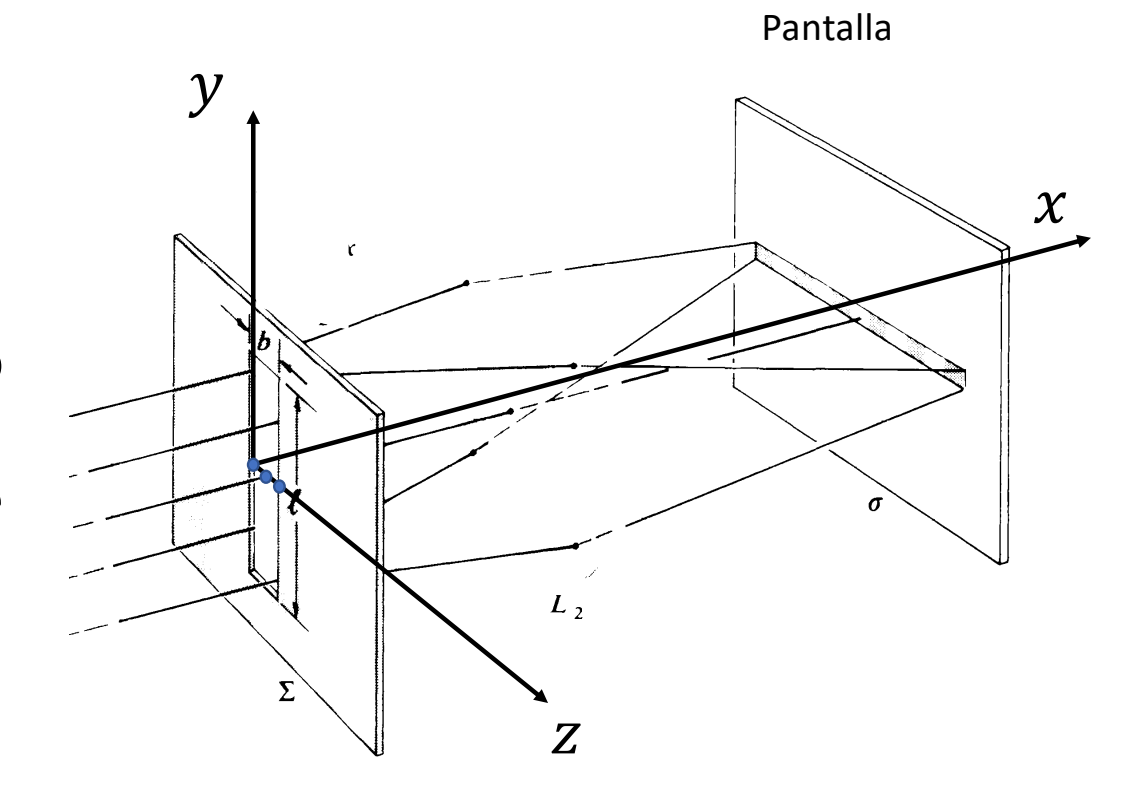
- Consideremos ahora la difracción de Fraunhofer de ondas planas a través de una abertura rectangular tal que:
- La abertura tiene un largo l de varios cm $l >> \lambda$.
- El ancho de la abertura b es de algunos cientos de λ .



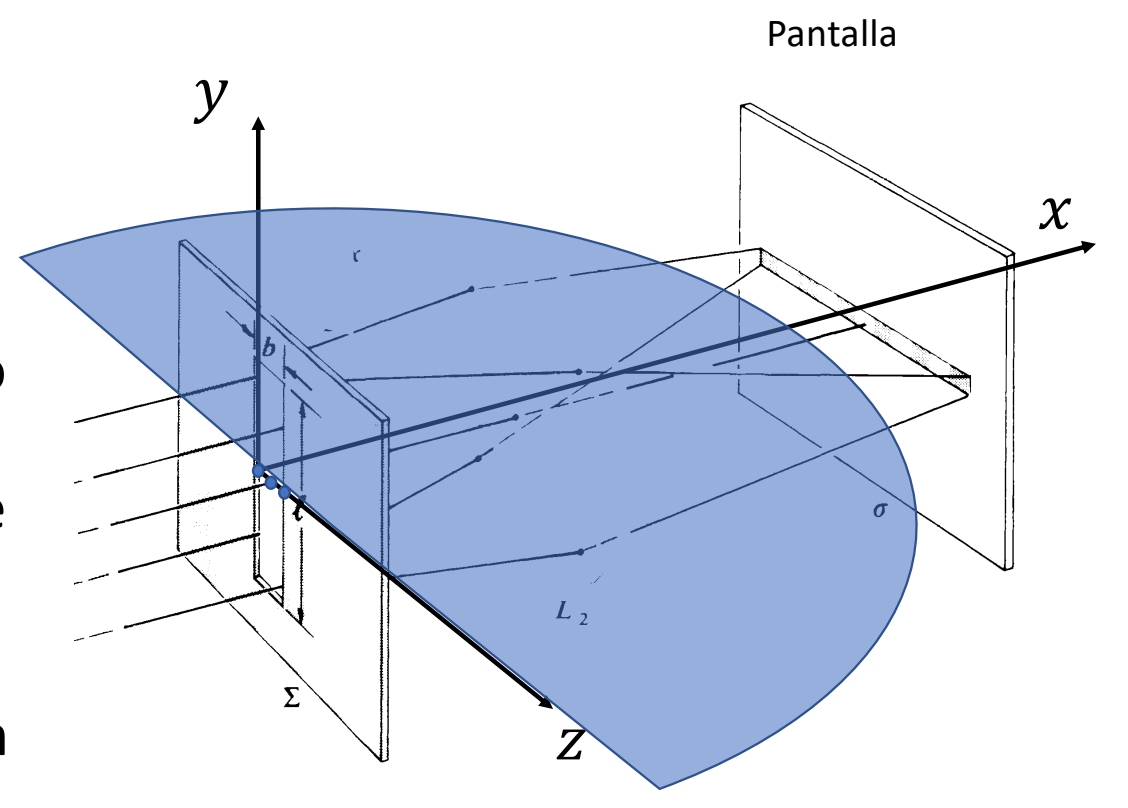
 Lo que se hace normalmente es dividir la ranura en segmentos verticales de fuentes coherentes como las que vimos anteriormente.



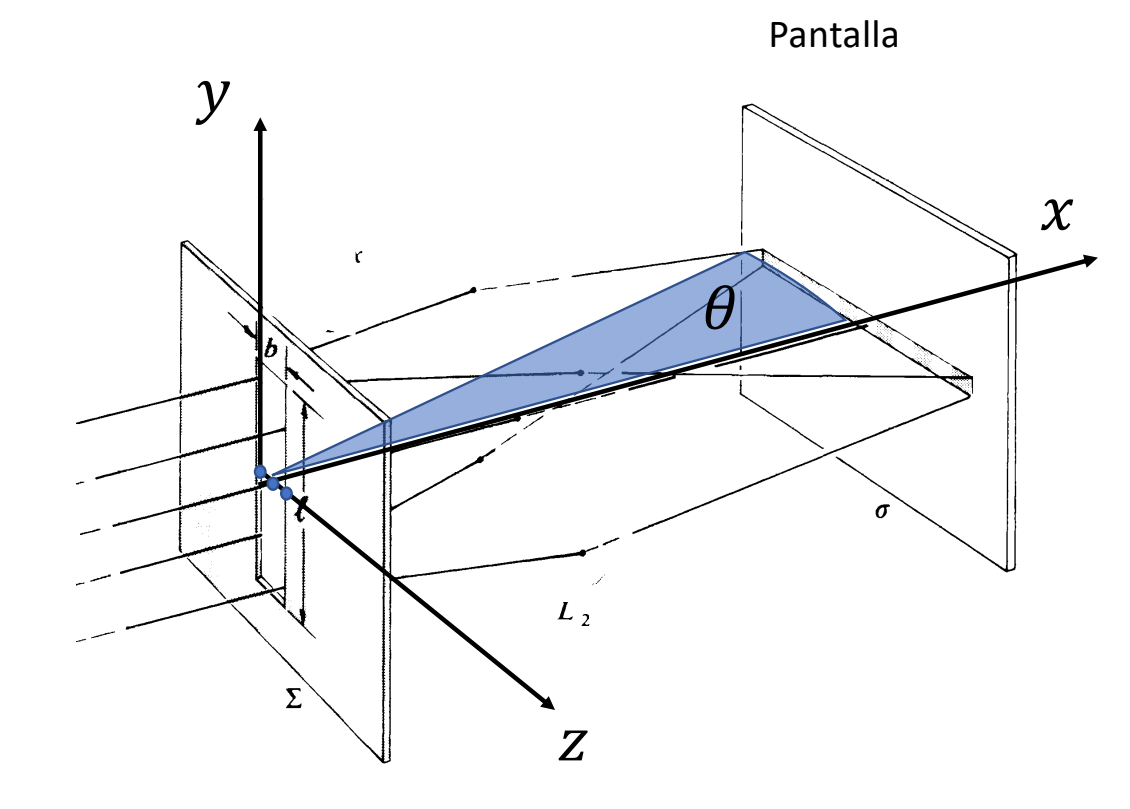
- Lo que se hace normalmente es dividir la ranura en segmentos verticales de fuentes coherentes como las que vimos anteriormente.
- Por lo que acabamos de ver, cuando $l >> \lambda$ cada segmento puede representarse como una sola fuente puntual a lo largo del eje z que irradia en el plano xz



- Lo que se hace normalmente es dividir la ranura en segmentos verticales de fuentes coherentes como las que vimos anteriormente.
- Por lo que acabamos de ver, cuando $l >> \lambda$ cada segmento puede representarse como una sola fuente puntual a lo largo del eje z que irradia en el plano xz
- Entonces habrá muy poca difracción en la dirección paralela a los bordes de la rendija.



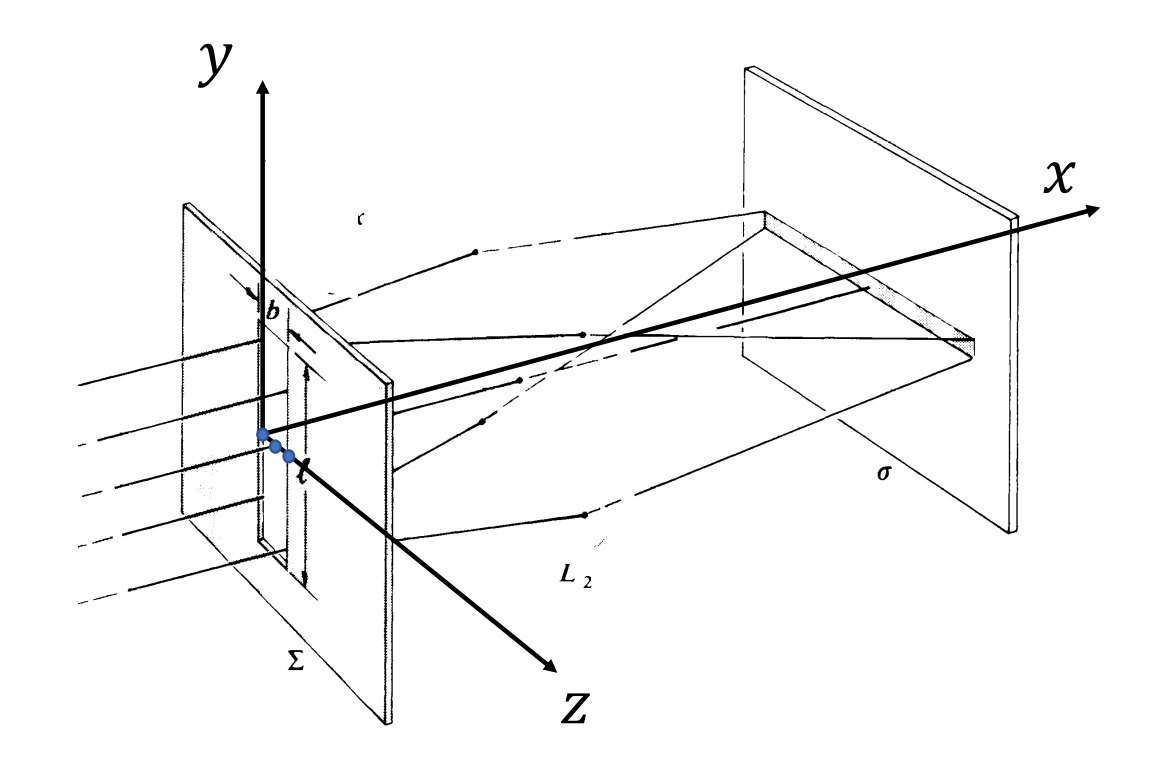
- En esas condiciones, el ángulo θ indica la dirección al punto de evaluación de la irradiancia sobre la pantalla.
- θ se mide desde el eje x sobre el plano xz



- Entonces, el problema se limita al de una serie de fuentes coherentes en el eje z a lo largo de una distancia b.
- Este problema ya lo analizamos y la irradiancia resultante es

$$I(\theta) = I(0) \left(\frac{\sin \beta}{\beta}\right)^2$$

• donde $\beta = (kb/2) \sin \theta$

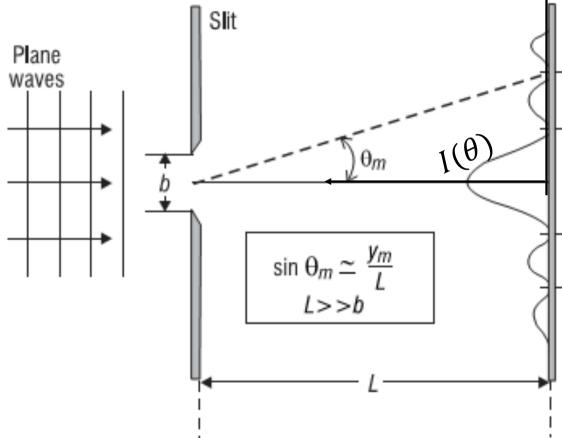


En la pantalla el patrón es perpendicular al lado mayor de la rendija



- Para graficar $I(\theta)$ versus $\sin\theta$ volvamos a ver sus máximos y mínimos.
- $I(\theta) \ge 0$ por definición
- Máximo en $\theta=0$ lo cual ocurre sí y solo sí $\beta=0$
- Mínimos (I=0) cuando $\beta=\pm\pi,\pm2\pi...\pm n\pi$. Esto implica que los mínimos se hallan en:

$$\sin \theta_{min} = \pm \frac{2n\pi}{kb} = \pm \frac{n\lambda}{b}$$



 $\sin \theta$

Pantalla
$$+y_{2} = \frac{2\lambda L}{b} \quad (m = 2)$$

$$+y_{1} = \frac{\lambda L}{b} \quad (m = 1)$$

$$y_{0} = 0 \quad (m = 0)$$

$$-y_{1} = -\frac{\lambda L}{b} \quad (m = -1)$$

$$-y_{2} = -\frac{2\lambda L}{b} \quad (m = -2)$$

- Ahora, que haya mínimos en $\beta=\pm\pi,\pm2\pi$... \pm $n\pi$ implica que entre ellos debe haber máximos.
- Entre los mínimos de primer orden, en $\sin\theta_{1min}=\pm\frac{\lambda}{b}$ tenemos el máximo central del patrón de difracción.
- ¿Qué pasa con los otros?
- Busquemos otros valores de $I(\beta)$ extremos haciendo $\frac{dI(\beta)}{d\beta}=0$

• Derivando tenemos:

$$\frac{dI}{d\beta} = I(0) \frac{2 \sin \beta (\beta \cos \beta - \sin \beta)}{\beta^3} = 0$$

• Por un lado tenemos máximo cuando $\beta=0$ y mínimos cuando

$$\beta = \pm \pi, \pm 2\pi, \pm 3\pi, \dots$$

• Entonces la otra manera de que esta expresión sea cero:

$$\frac{dI}{d\beta} = I(0) \frac{2 \sin \beta}{\beta^3} (\beta \cos \beta - \sin \beta) = 0$$

• Es que el término encerrado sea cero. De ahí se obtiene:

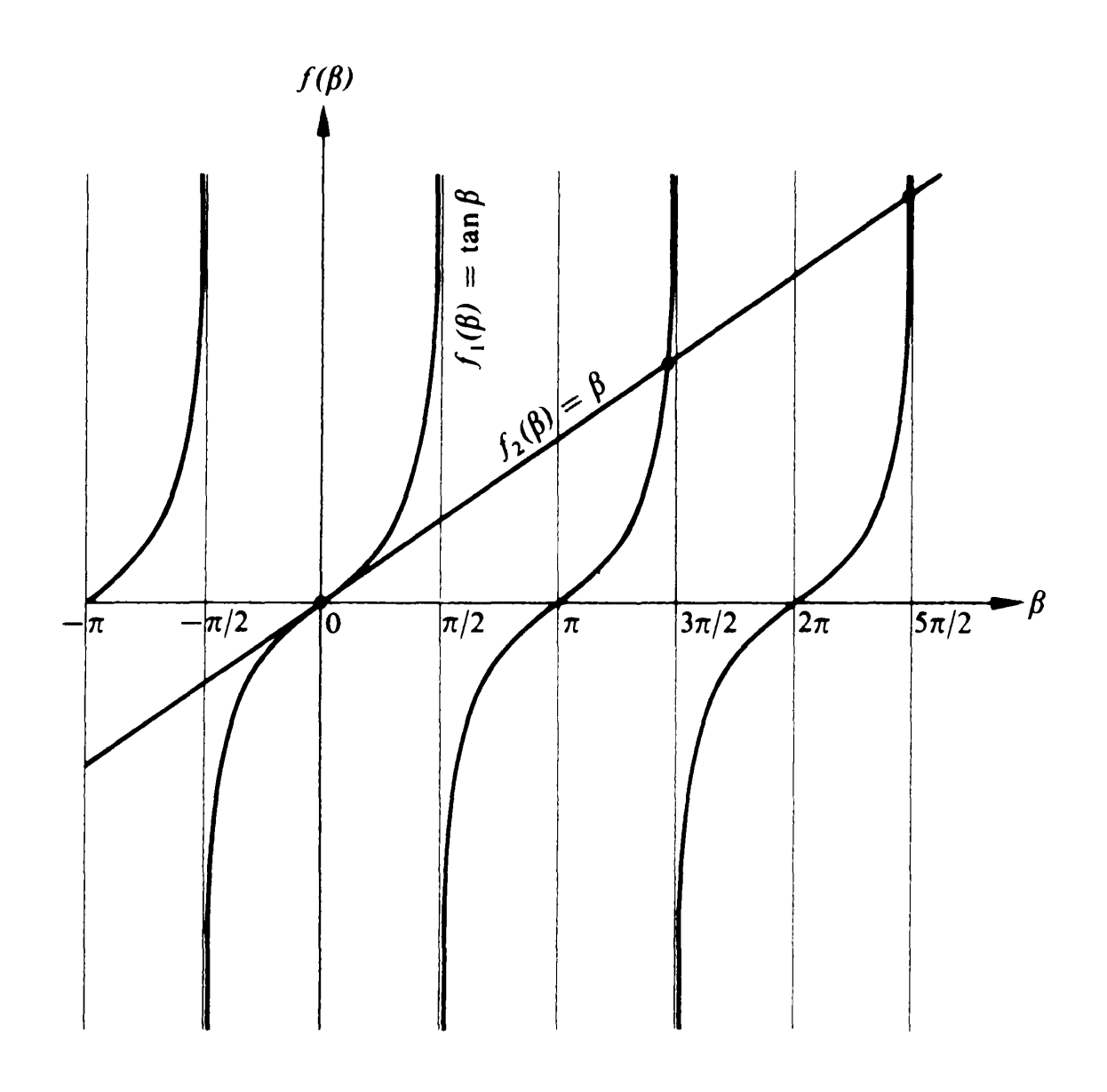
$$\beta \cos \beta - \sin \beta = 0$$

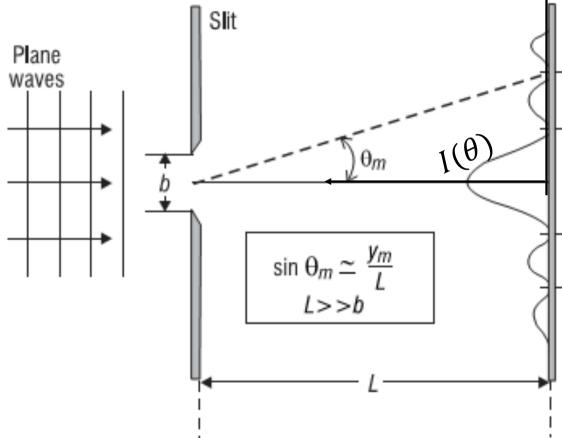
$$\tan \beta = \beta$$

• La ecuación anterior no tiene soluciones analíticas, pero sí numéricas.

• Sus primeras raices son: $\beta = \pm 1,4303\pi$, $\pm 2,4590\pi$, $\pm 3,4707\pi$...

• Esto es casi a mitad de camino entre dos mínimos





 $\sin \theta$

Pantalla
$$+y_{2} = \frac{2\lambda L}{b} \quad (m = 2)$$

$$+y_{1} = \frac{\lambda L}{b} \quad (m = 1)$$

$$y_{0} = 0 \quad (m = 0)$$

$$-y_{1} = -\frac{\lambda L}{b} \quad (m = -1)$$

$$-y_{2} = -\frac{2\lambda L}{b} \quad (m = -2)$$

